



### บทที่ 3

#### ผลการวิจัย

slide ทั้งหมดที่ทำการศึกษา มี 72 slide จากผู้ป่วย 70 คน แบ่งเป็น LP 50 Slide, Lichenoid DLE 22 slide, มีผู้ป่วย 2 คน ได้รับการตัดชิ้นเนื้อ 2 ครั้ง ห่างกันประมาณ 1 ปี และ 1 ปี 5 เดือน เป็นผู้ป่วย lichenoid DLE ทั้งคู่ ตามตารางที่ 3

ใน slide LP ทั้งหมด 50 slide แบ่งเป็นชาย 18 , หญิง 32 lesion จากเยื่อช่องปาก 37 slide , จากผิวหนัง 13 slide ไม่มีผู้ป่วยรายใดที่มี lesion ที่ผิวหนังร่วมกับเยื่อช่องปาก ตามตารางที่ 4

ใน slide lichenoid DLE ทั้งหมด 22 slide แบ่งเป็นชาย 8, หญิง 14 , lesion จากเยื่อช่องปาก 5 slide ผิวหนัง 9 slide , มี lesion ทั้งที่ผิวหนังและเยื่อช่องปาก 8 slide ตามตารางที่ 5

การศึกษาขั้นแรก โดยการวินิจฉัยแยกโรค LP กับ โรค DLE ทางพยาธิสภาพ โดยใช้หลักเกณฑ์เดิม(9-11,35-37) ได้ผลดังนี้ (ตารางที่ 6.1)

ในผู้ป่วย DLE ให้การวินิจฉัยถูก 14/22 คิดเป็น 63.6%

ในผู้ป่วย LP ให้การวินิจฉัยถูก 17/50 คิดเป็น 34%

รวมวินิจฉัยถูกทั้งหมด 31/72 คิดเป็น 43.1%

ขั้นต่อมา ทำการศึกษาอย่างละเอียดของพยาธิสภาพในแต่ละชั้น ได้ผลตามตารางที่ 7 นำข้อมูลที่ได้มาวิเคราะห์ผลทางสถิติ ได้ความสัมพันธ์ที่มีนัยสำคัญทางสถิติ 6 ตัวแปรคือ (กราฟที่ 1-12, รูปที่ 20-25)

1. Epidermal atrophy
2. Basement membrane thickening
3. Vascular dilatation
4. Deep inflammatory infiltrate

5. Regular acanthosis

6. Confluent interface change

ซึ่งข้อ 1-4 สัมพันธ์กับโรค DLE และข้อ 5-6 สัมพันธ์กับโรค LP  
การศึกษาขั้นสุดท้าย โดยการวินิจฉัยแยกโรค LP และ โรค DLE  
ทางพยาธิสภาพ โดยใช้หลักเกณฑ์ ที่พบใหม่ ได้ผลดังนี้ ( ตารางที่ 6.2 )

ในผู้ป่วย DLE ให้การวินิจฉัยถูก 18/22 คิดเป็น 81.8%

ในผู้ป่วย LP ให้การวินิจฉัยถูก 39/50 คิดเป็น 78%

รวมวินิจฉัยถูกทั้งหมด 57/72 คิดเป็น 79.2%

ตารางที่ 3 แสดงเพศ, อายุ, ตำแหน่งที่เป็นของโรค

	DLE	LP
จำนวน	22	50
ชาย	8	18
หญิง	14	32
พิสัยอายุ	19-77	16-84
อายุเฉลี่ย	39.95	44.34
ตำแหน่ง		
เยื่อช่องปาก	5	37
ผิวหนัง	9	13
ผิวหนังและเยื่อช่องปาก	8	0

\*อายุและสัดส่วนการเป็นโรคของชายต่อหญิงทั้งสองโรคนี้ ไม่มีความแตกต่างกันอย่างมีนัยสำคัญทางสถิติ ( $p < 0.05$ )

จำนวน slide ทั้งหมด 72 slide จาก ผู้ป่วย 70 คน มี 2 คน ทำการตัดชิ้นเนื้อ 2 ครั้ง ในระหว่างการดำเนินโรคและผู้ป่วยทั้งสองคนเป็นโรค Discoid lupus erythematosus

ตารางที่ 4 ข้อมูลผู้ป่วย LP

NO	เพศ	อายุ	ตำแหน่งที่เป็น	1 <sup>st</sup> Dx	อื่นๆ
1	ชาย	84	ผิวหนัง	Balanitis xerotics obliteran	
2	ชาย	30	เยื่อหู	LP	
3	ชาย	16	ผิวหนัง	LP	
4	ชาย	44	เยื่อหู	LP	
5	หญิง	41	เยื่อหู	LP	
6	ชาย	26	เยื่อหู	pemphigus vulgaris	
7	ชาย	55	ผิวหนัง	DLE	
8	หญิง	42	ผิวหนัง	LP	
9	หญิง	47	เยื่อหู	LP?LE?	
10	หญิง	59	เยื่อหู	LP	
11	หญิง	70	เยื่อหู	LP	
12	หญิง	68	เยื่อหู	LP	
13	ชาย	49	เยื่อหู	LP	
14	หญิง	42	เยื่อหู	LP	ANA (-)
15	หญิง	62	เยื่อหู	LP	
16	หญิง	65	เยื่อหู	Leukoplakia	
17	ชาย	64	เยื่อหู	LP?LE?	
18	หญิง	36	ผิวหนัง	LP	
19	หญิง	53	เยื่อหู	LP	
20	หญิง	60	เยื่อหู	LP	



ตารางที่ 4 ข้อมูลผู้ป่วย LP (ต่อ)

NO	เพศ	อายุ	ตำแหน่งที่เป็น	1 <sup>st</sup> Dx	อื่นๆ
21	หญิง	23	เยื่อหู	Pemphigus vulgaris	DIF(-), IIF(
22	ชาย	56	เยื่อหู	LP	
23	ชาย	28	เยื่อหู	LP	
24	หญิง	33	เยื่อหู	LP	
25	ชาย	54	ผิวหนัง	LP	
26	หญิง	45	เยื่อหู	LP	
27	หญิง	30	เยื่อหู	LP	
28	หญิง	56	ผิวหนัง	LP	
29	หญิง	18	เยื่อหู	DLE	DIF(-)
30	หญิง	55	เยื่อหู	LP	
31	หญิง	47	เยื่อหู	LP?LE?	
32	หญิง	18	เยื่อหู	LP	
33	หญิง	26	ผิวหนัง	LP	DIF(-)
34	ชาย	18	เยื่อหู	DLE	
35	หญิง	59	เยื่อหู	LP	
36	ชาย	45	เยื่อหู	LP	DIF(+)
37	หญิง	43	เยื่อหู	LP	
38	หญิง	63	เยื่อหู	LP	
39	หญิง	29	เยื่อหู	LP	
40	หญิง	20	เยื่อหู	DLE	DIF(+)

ตารางที่ 4 ข้อมูลผู้ป่วย LP (ต่อ)

NO	เพศ	อายุ	ตำแหน่งที่เป็น	1 <sup>st</sup> Dx	อื่นๆ
41	หญิง	57	ผิวหนัง	LP	DIF (-)
42	หญิง	27	ผิวหนัง	LP	
43	หญิง	50	เยื่อ	LP	
44	ชาย	75	เยื่อ	LP	
45	ชาย	37	ผิวหนัง	LP	
46	หญิง	44	เยื่อ	LP	
47	ชาย	36	เยื่อ	DLE	
48	ชาย	49	ผิวหนัง	LP	
49	หญิง	20	ผิวหนัง	LP	
50	ชาย	30	เยื่อ	DLE	

ตารางที่ 5 ข้อมูลผู้ป่วย DLE

NO	เพศ	อายุ	ตำแหน่งที่เป็น	1 <sup>st</sup> Dx	อื่นๆ
1	ชาย	48	ผิวหนัง	DLE	ANA(-), RF, 1:320, LE cell(-)
2	ชาย	40	เยื่อหู	DLE	DIF(+) for LE
3	ชาย	55	ผิวหนังและเยื่อหู	DLE	ANA(-)
4	ชาย	30	ผิวหนังและเยื่อหู	LP?LE?	DIF(+) IIF(-)
5	หญิง	36	ผิวหนัง	DLE	
6	ชาย	34	ผิวหนัง	DLE	associate with vitiligo
7	หญิง	53	ผิวหนังและเยื่อหู	DLE	ANA 1:640-speckle, CH50   , IIF   IgG
8	ชาย	40	ผิวหนังและเยื่อหู	DLE	
9	ชาย	53	ผิวหนัง	DLE	DIF(-)
10	ชาย	25	ผิวหนัง	DLE	ANA(-), RF 1:40 Lupus band(-)
11	หญิง	19	ผิวหนัง	DLE	DIF(+) for LE, LE cell(-)
12	หญิง	77	เยื่อหู	LP?LE?	
13	หญิง	23	เยื่อหู	LP?LE?	
14	หญิง	25	ผิวหนังและเยื่อหู	DLE	ANA(-), Lupus band(-)
15	หญิง	25	ผิวหนังและเยื่อหู	DLE	ANA(-), Lupus band(-)
16	หญิง	64	ผิวหนัง	DLE	
17	หญิง	53	ผิวหนังและเยื่อหู	DLE	ANA 1:540-speckle, CH50   , DIF(+)
18	หญิง	53	เยื่อหู	LP?LE?	
19	หญิง	44	ผิวหนัง	DLE	ANA(-), LE cell(-)
20	หญิง	48	เยื่อหู	DLE	ANA(-)
21	หญิง	31	เยื่อหู	LP?LE?	
22	หญิง	23	ผิวหนัง	DLE	ANA 1:80-speckle, CH50   DIF(+) LE cell(-)

ตารางที่ 6.1 การวินิจฉัยทางพยาธิสภาพเพื่อแยก โรค Lichen planus กับ  
โรค Lichenoid discoid lupus erythematosus โดยใช้หลักเกณฑ์เดิม

	DLE	LP	รวม
วินิจฉัยถูก	14	17	31
จำนวนชิ้นเนื้อทั้งหมด	22	50	72
คิดเป็น	63.6%	34%	43.1%

ตารางที่ 6.2 การวินิจฉัยทางพยาธิสภาพเพื่อแยก โรค Lichen planus กับ  
โรค Lichenoid discoid lupus erythematosus โดยใช้หลักเกณฑ์ใหม่

	DLE	LP	รวม
วินิจฉัยถูก	18	39	57
จำนวนชิ้นเนื้อทั้งหมด	22	50	72
คิดเป็น	81.8%	78%	79.2%



ตารางที่ 7 ข้อมูลตัวแปรทางพยาธิสภาพของโรค LP และ Lichenoid DLE  
(ตัวเลขในวงเล็บแสดงถึงโรค DLE)

ตัวแปร	0	1+	2+	3+
<b>Stratum corneum</b>				
1. Hyperkeratosis	19(6)	4(2)	24(10)	3(4)
2. Parakeratosis	36(12)	3(2)	11(8)	0(0)
3. Follicular plugging*				
orthokeratosis	17(10)	2(2)	1(0)	0(0)
parakeratosis	20(10)	0(1)	0(1)	0(0)
<b>Stratum granulosum</b>				
1. Hypergranulosis				
focal	28(11)	2(2)	17(9)	3(0)
confluent	47(21)	0(1)	3(0)	0(0)
<b>Stratum malphigii</b>				
1. Acanthosis				
regular	33(21)	1(1)	13(0)	3(0)
irregular	32(9)	2(2)	15(9)	1(2)
2. Epidermal atrophy	37(10)	2(2)	11(9)	0(1)
3. Spongiosis	35(20)	15(1)	0(1)	0(0)
4. Necrotic keratinocyte				
basal	26(7)	21(10)	3(5)	0(0)
suprabasal	32(14)	17(4)	1(4)	0(0)

\* พยาธิสภาพนี้ไม่พบในทุก slide

ตารางที่ 7 ข้อมูลตัวแปรทางพยาธิสภาพของโรค LP และ Lichenoid DLE  
(ตัวเลขในวงเล็บแสดงถึงโรค DLE) (ต่อ)

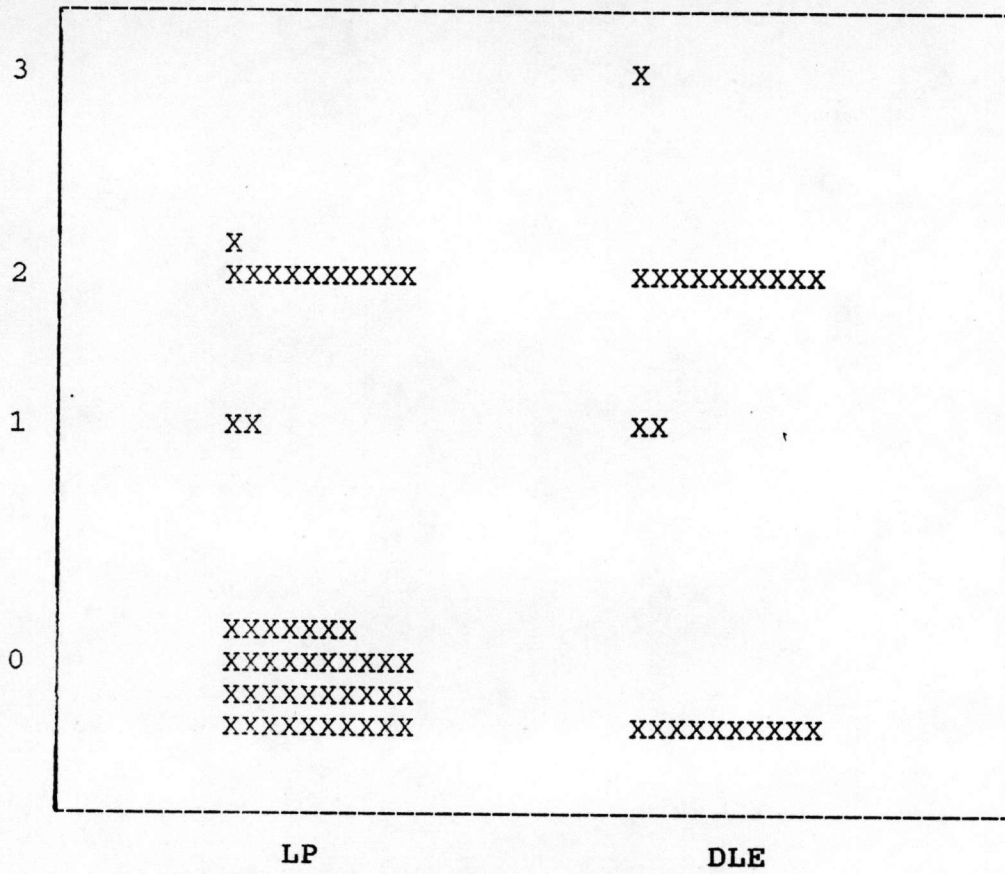
ตัวแปร	0	1+	2+	3+
<b>Basal cell layer</b>				
1. Liquefaction degeneration	34(14)	11(1)	5(7)	0(0)
<b>Dermoepidermal junction</b>				
1. Interface change				
confluent	32(20)	17(1)	1(1)	0(0)
focal	45(20)	4(2)	1(0)	0(0)
2. Subepidermal separation	43(21)	3(1)	4(0)	0(0)
3. BMZ* thickening	46(15)	0(3)	4(3)	0(1)
<b>Dermis</b>				
1. Colloid body	50(21)	0(1)	0(0)	0(0)
2. Subepidermal edema	44(19)	3(1)	2(0)	1(2)
3. Level of infiltration				
superficial	0(0)	4(4)	37(16)	9(2)
deep	46(14)	0(2)	1(5)	3(1)

\*BMZ = Basement membrane zone

ตารางที่ 7 ข้อมูลตัวแปรทางพยาธิสภาพของโรค LP และ Lichenoid DLE  
(ตัวเลขในวงเล็บแสดงถึงโรค DLE) (ต่อ)

ตัวแปร	0	1+	2+	3+
<b>Dermis (ต่อ</b>				
4. Periappendage involvement	50(20)	0(0)	0(1)	0(1)
5. Type of inflammatory cell				
lymphohistiocyte	0(0)	4(4)	38(16)	8(2)
plasma cell	39(17)	5(2)	4(3)	2(0)
polymorphonuclear cell	50(22)	0(0)	0(0)	0(0)
eosinophil	46(19)	4(3)	0(0)	0(0)
6. Red cell extravasate	43(17)	6(2)	1(2)	0(1)
7. Dermal melanosis	20(10)	17(5)	11(7)	2(0)
8. Vascular dilatation	38(10)	7(4)	4(8)	1(0)
9. Fibrinoid change at				
vessle wall	49(21)	1(1)	0(0)	0(0)
10. Increase of blood vessle	48(22)	2(0)	0(0)	0(0)
11. Dermal fibrosis	48(20)	2(2)	0(0)	0(0)
12. solar elastosis	47(18)	1(2)	0(2)	2(0)

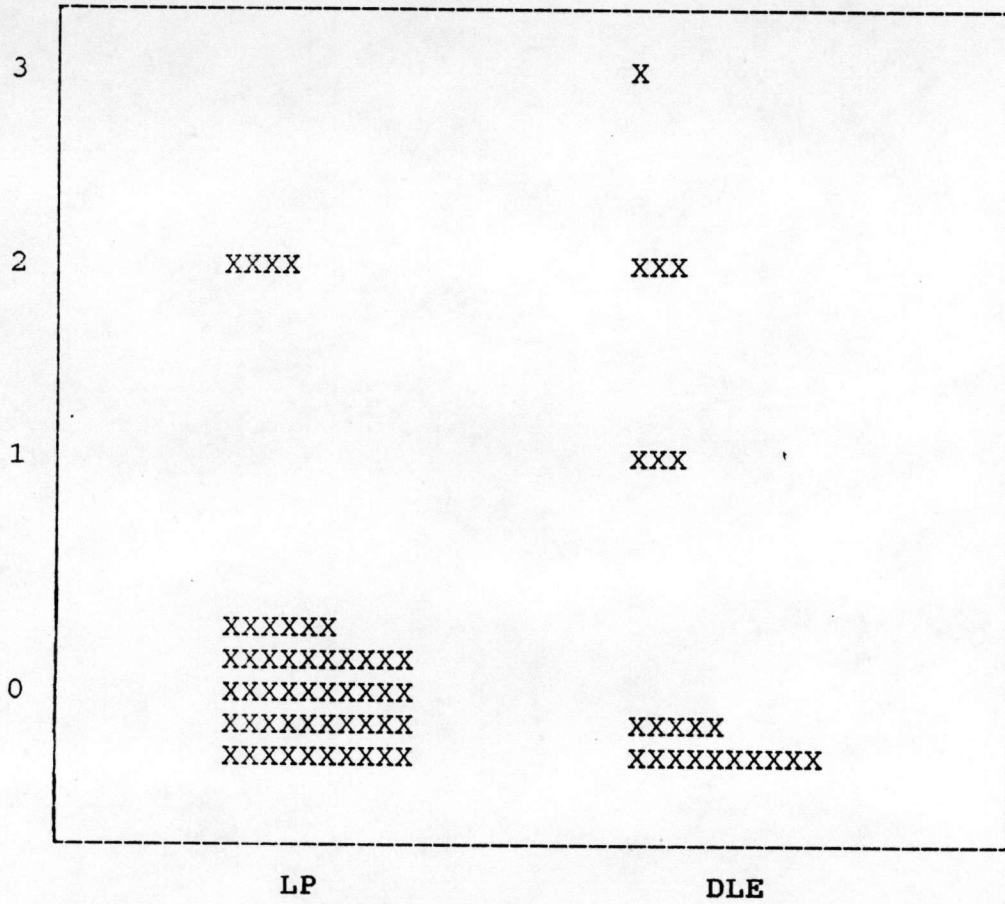
grading



กราฟที่ 1 แสดง Epidermal atrophy (p<0.05)

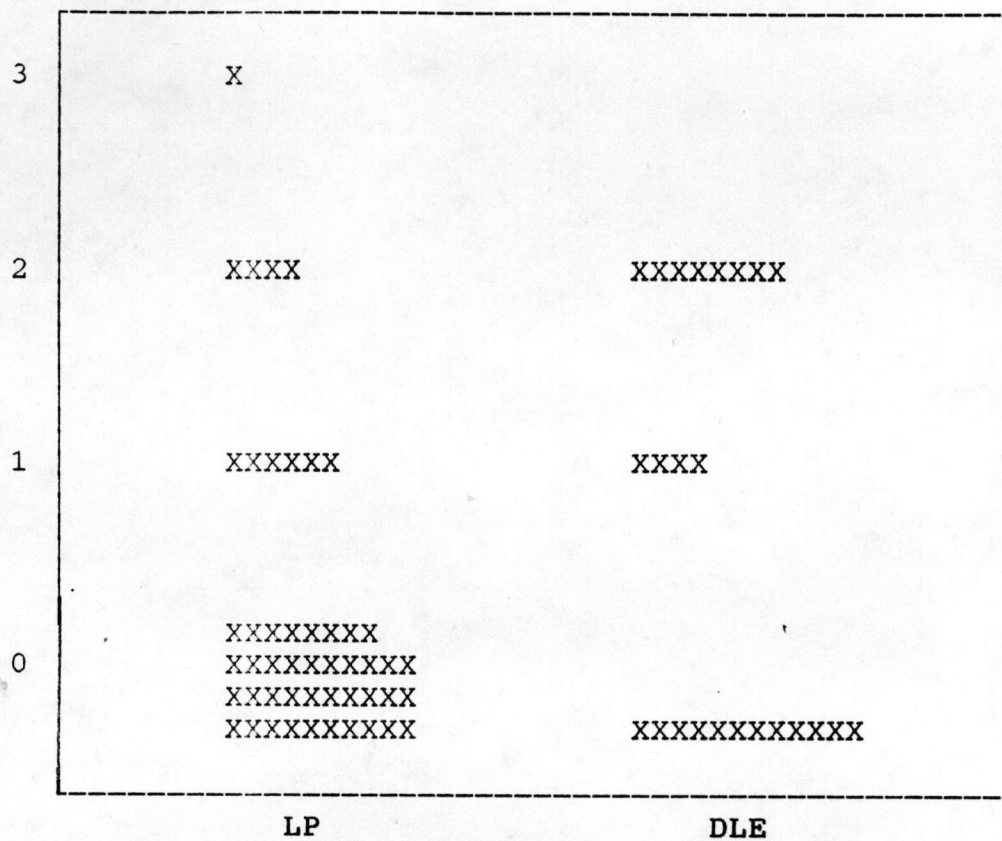


grading



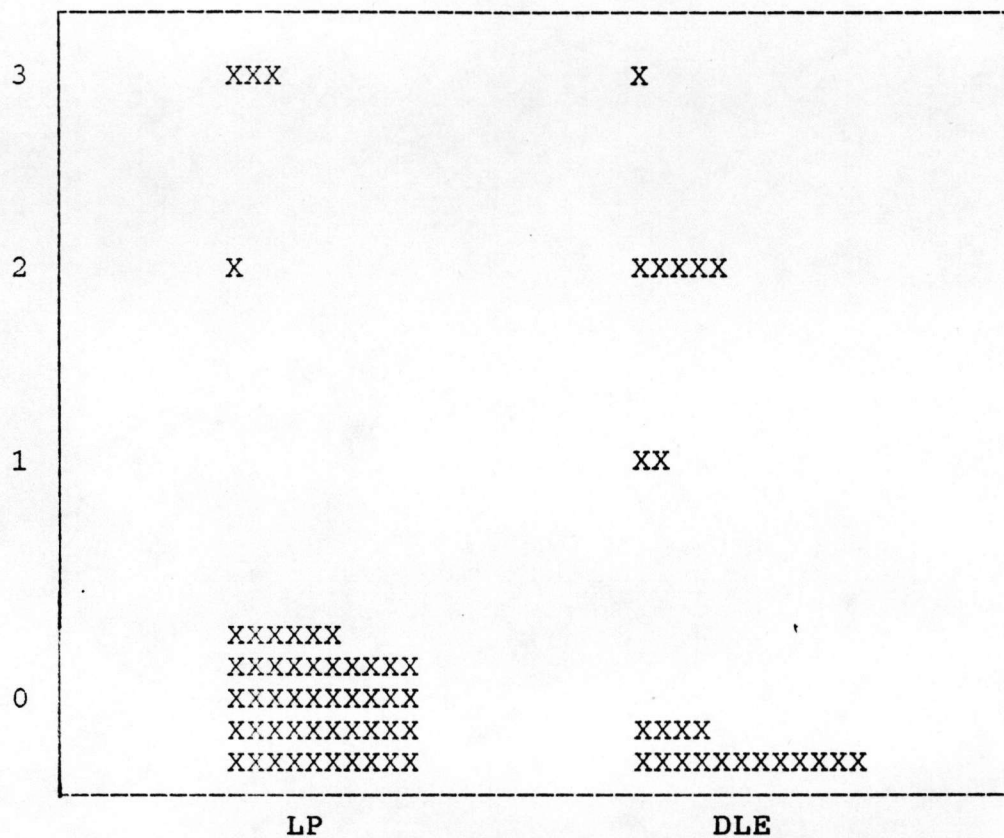
กราฟที่ 2 แสดง Basement membrane thickening (p<0.05)

grading



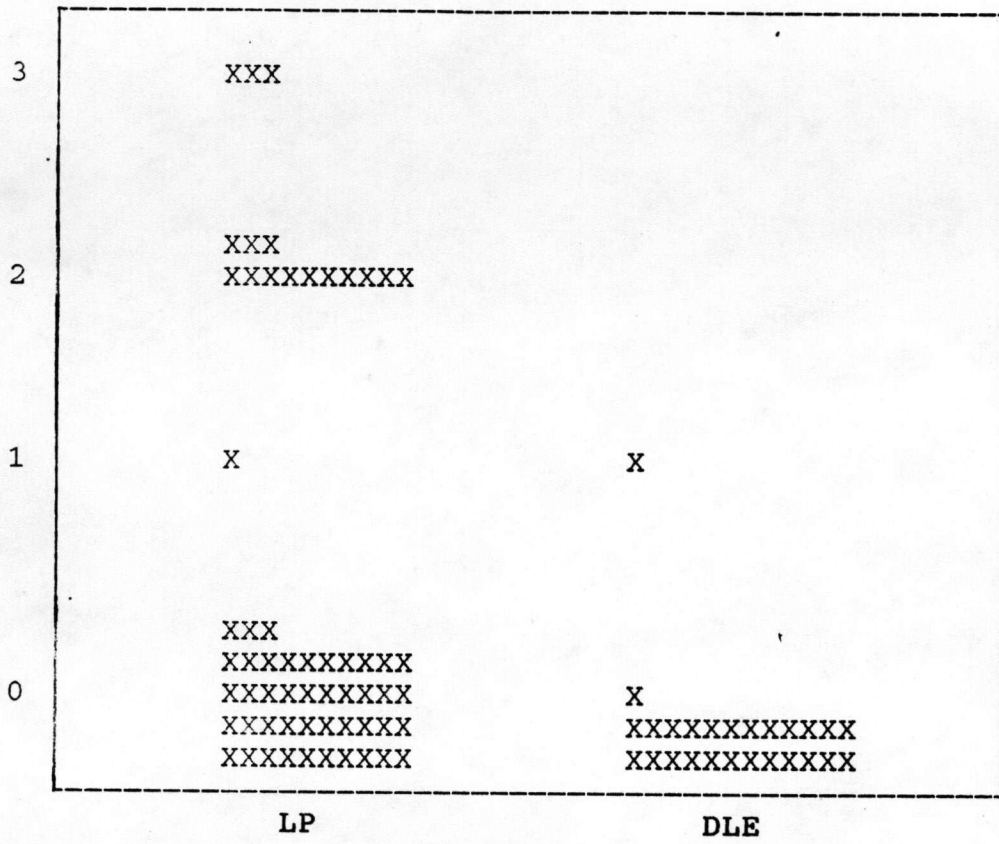
กราฟที่ 3 แสดง Vascular dilatation ( $p < 0.025$ )

grading



กราฟที่ 4 แสดง Deep inflammatory infiltrate (p<0.01)

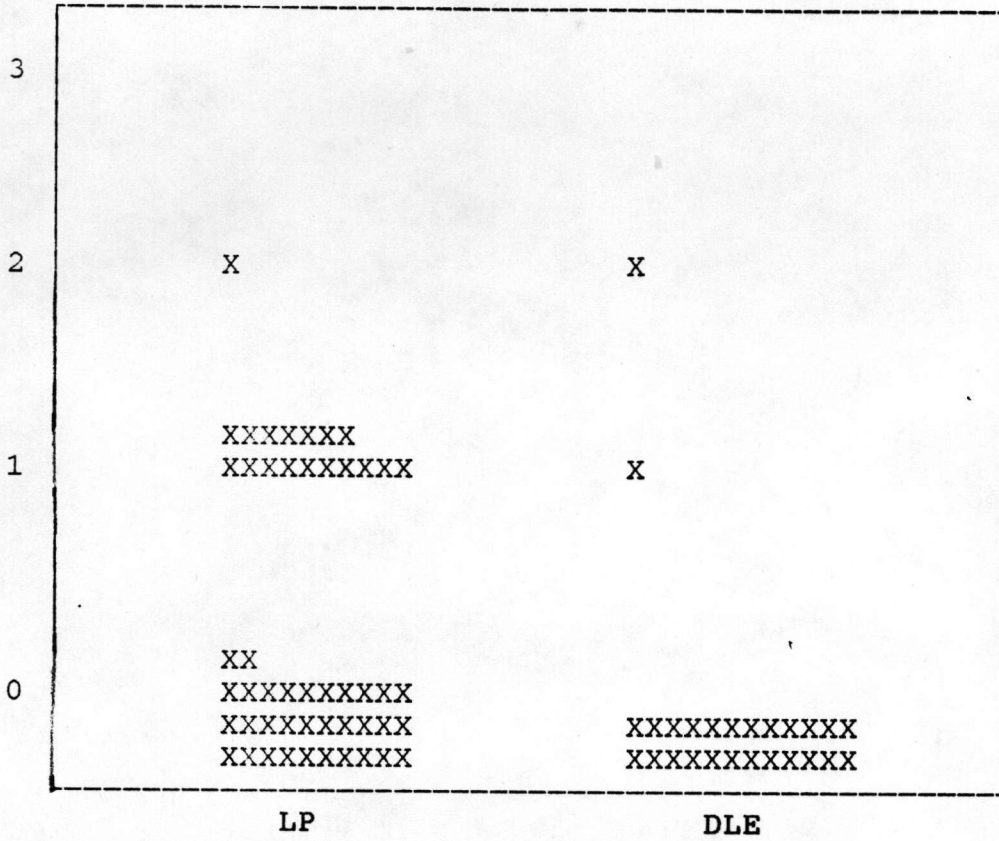
grading



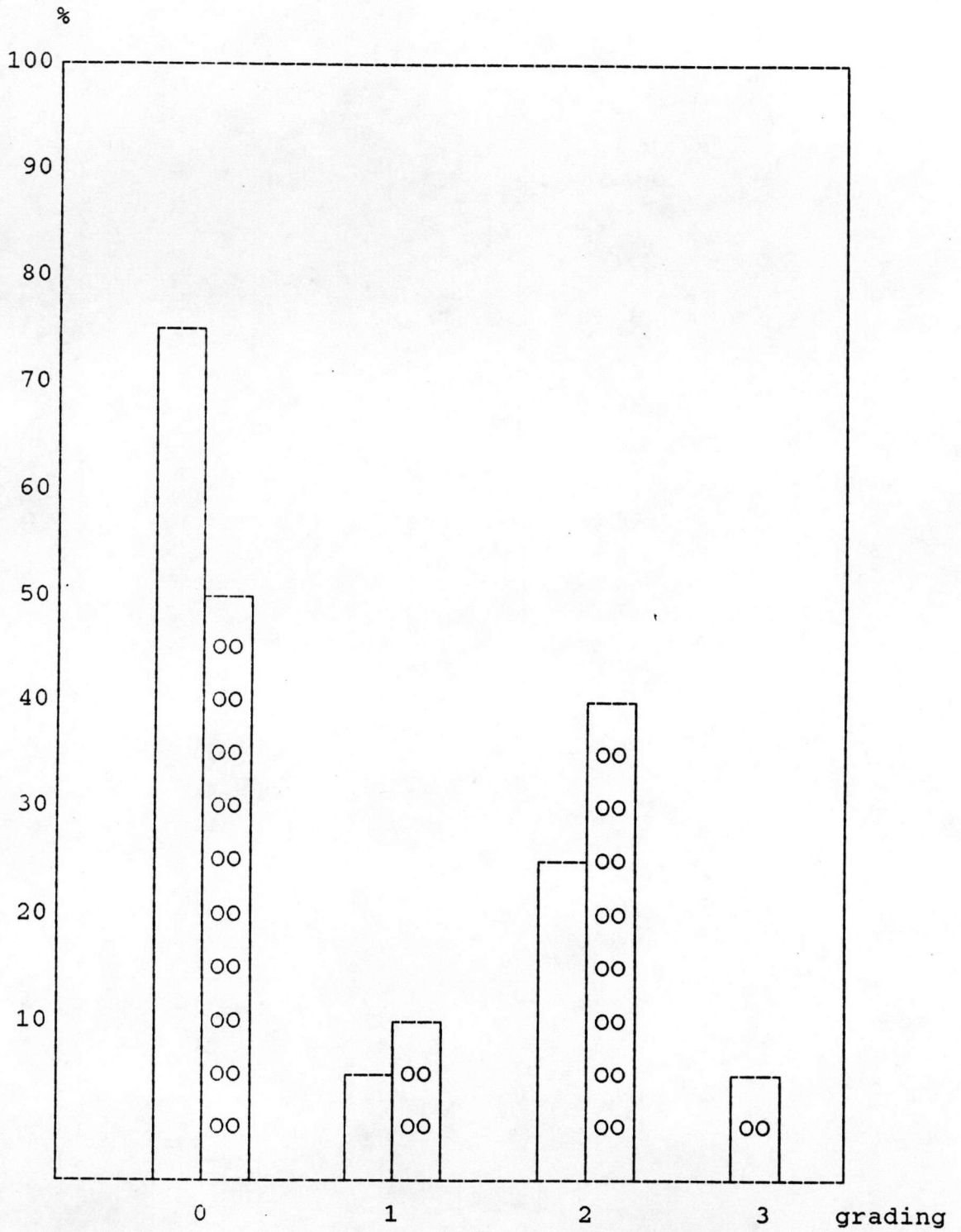
กราฟที่ 5 แสดง Regular Acanthosis ( $p < 0.025$ )



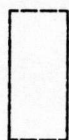
grading



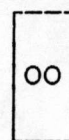
ภาพที่ 6 แสดง Confluent interface change (p<0.05)



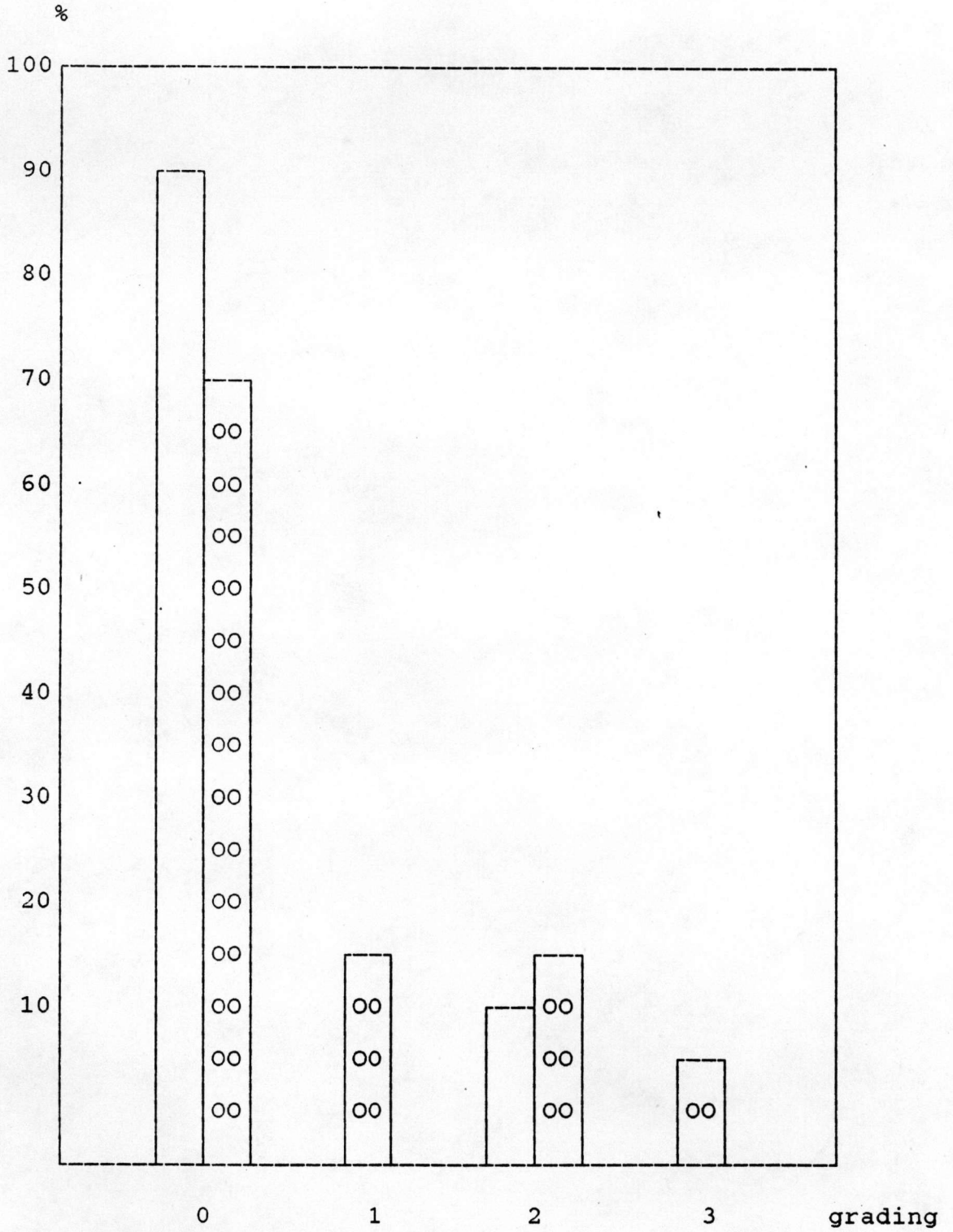
กราฟที่ 7 แสดง Epidermal atrophy (p<0.05)



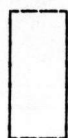
LP



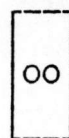
DLE



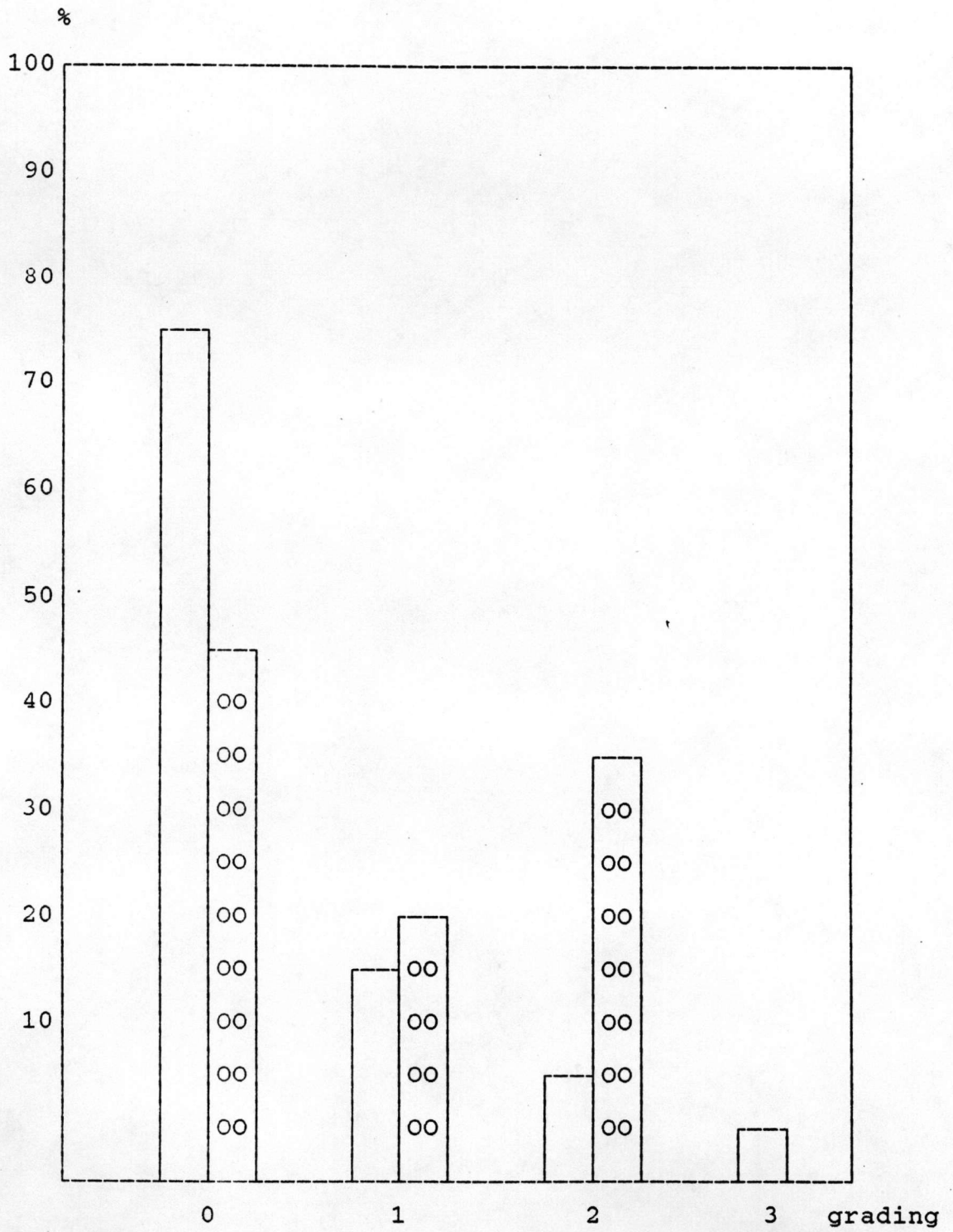
กราฟที่ 8 แสดง Basement membrane thickening (p<0.05)



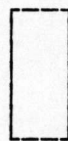
LP



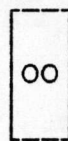
DLE



กราฟที่ 9 แสดง Vascular dilatation (p<0.025)

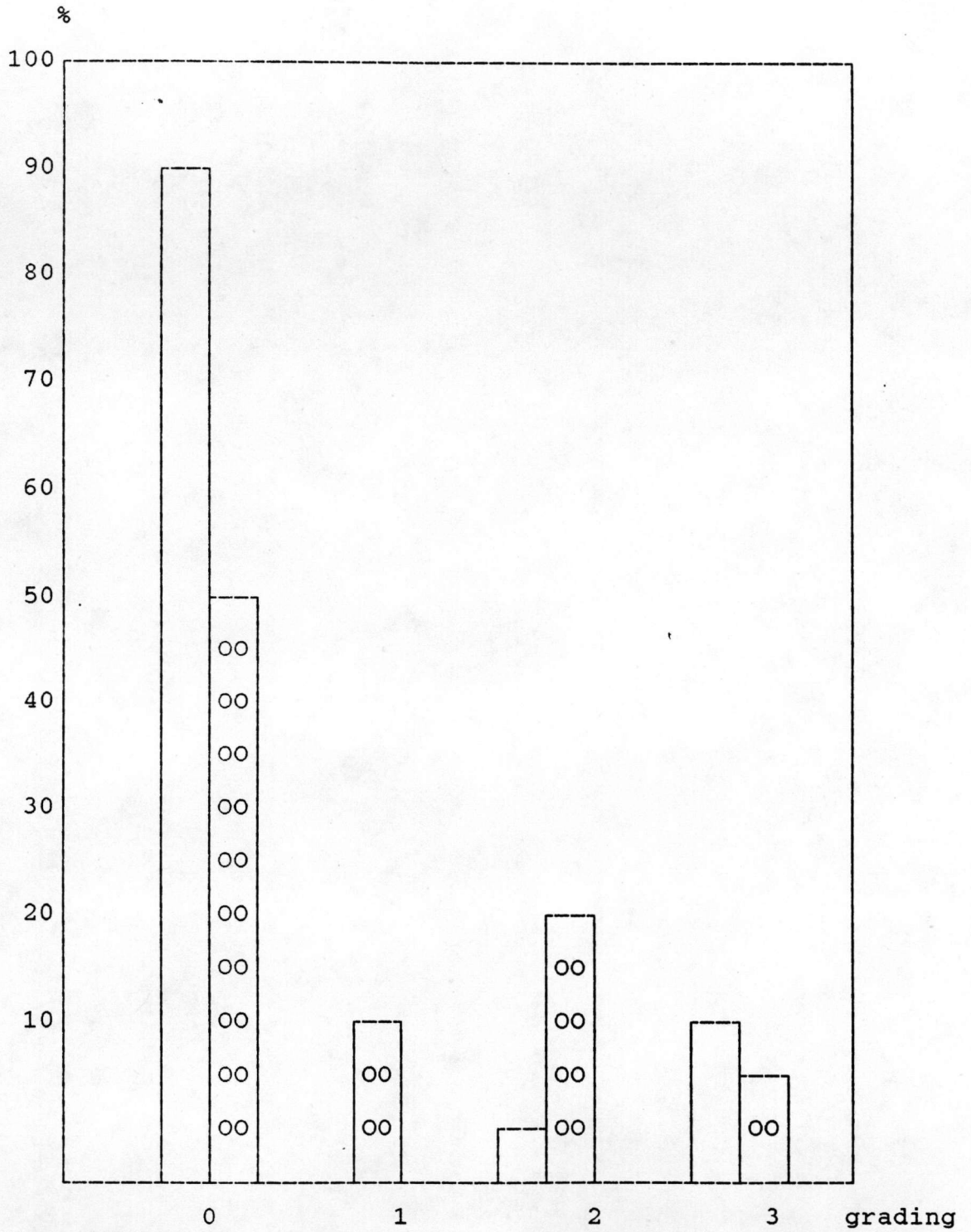


LP

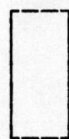


DLE

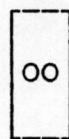




กราฟที่ 10 แสดง Deep inflammatory infiltrate ( $p < 0.01$ )

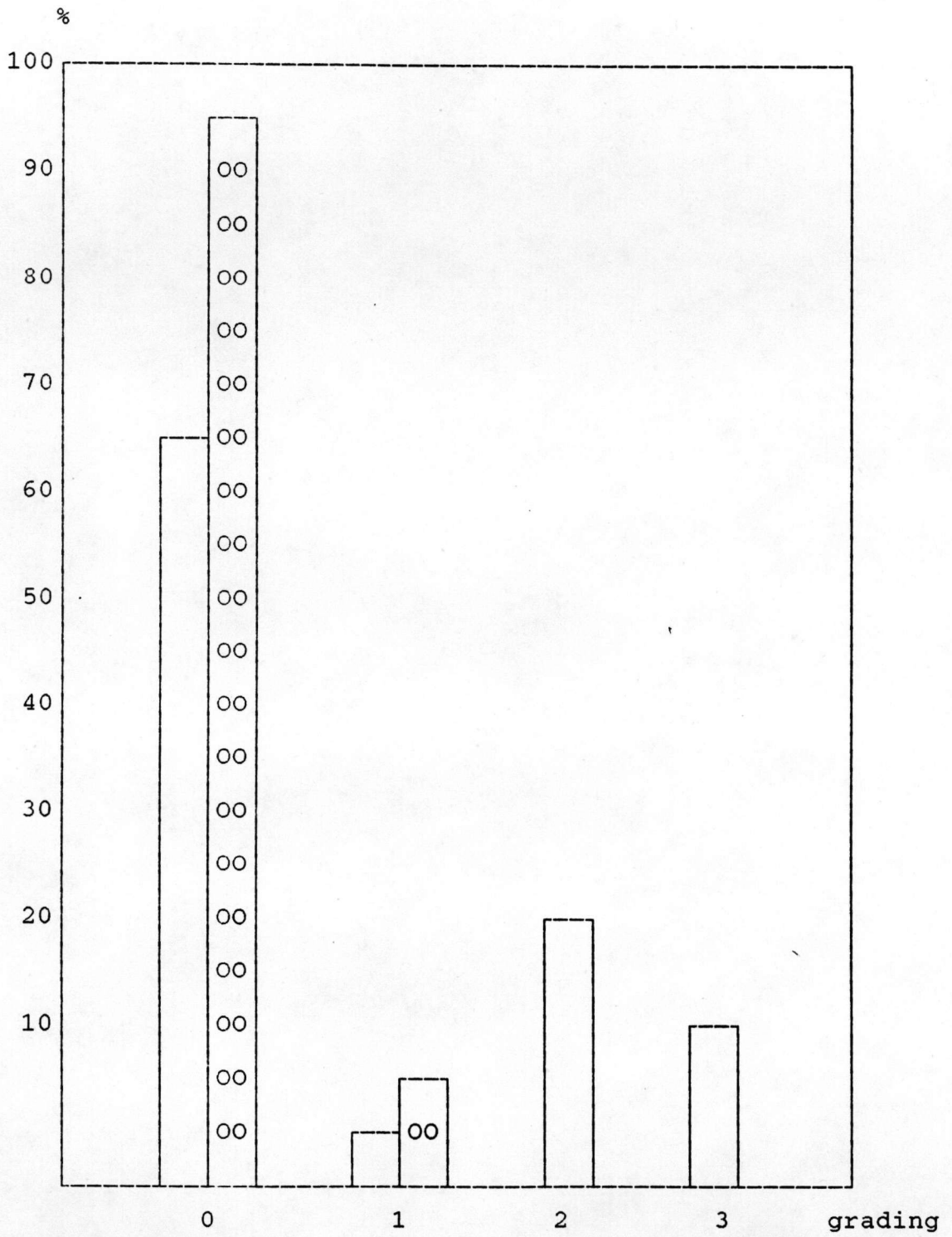


LP

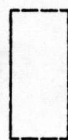


OO

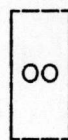
DLE



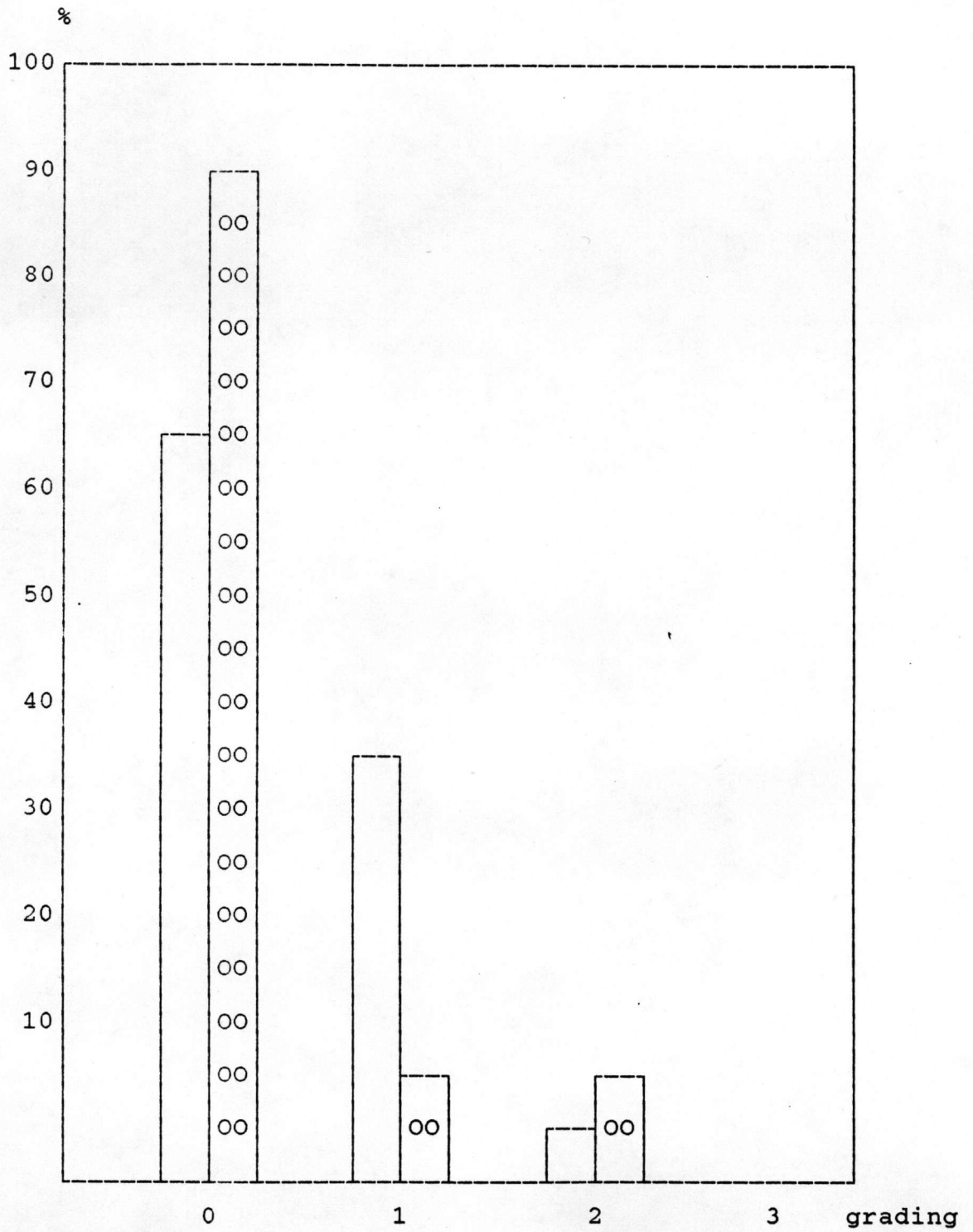
กราฟที่ 11 แสดง Regular Acanthosis ( $p < 0.025$ )



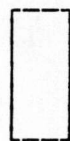
LP



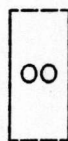
DLE



กราฟที่ 12 แสดง Confluent interface change (p<0.05)

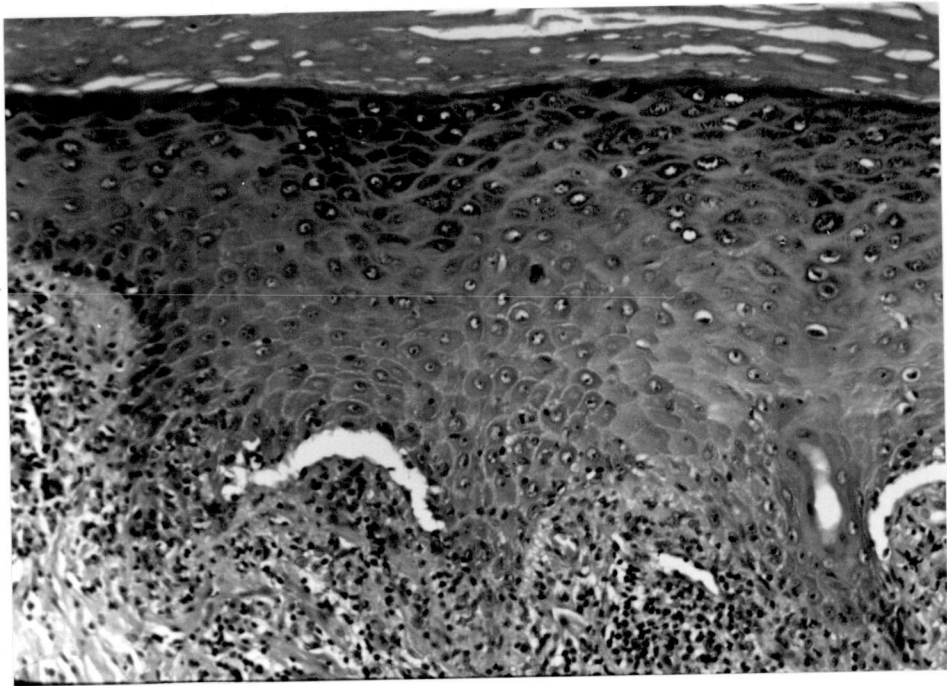


LP



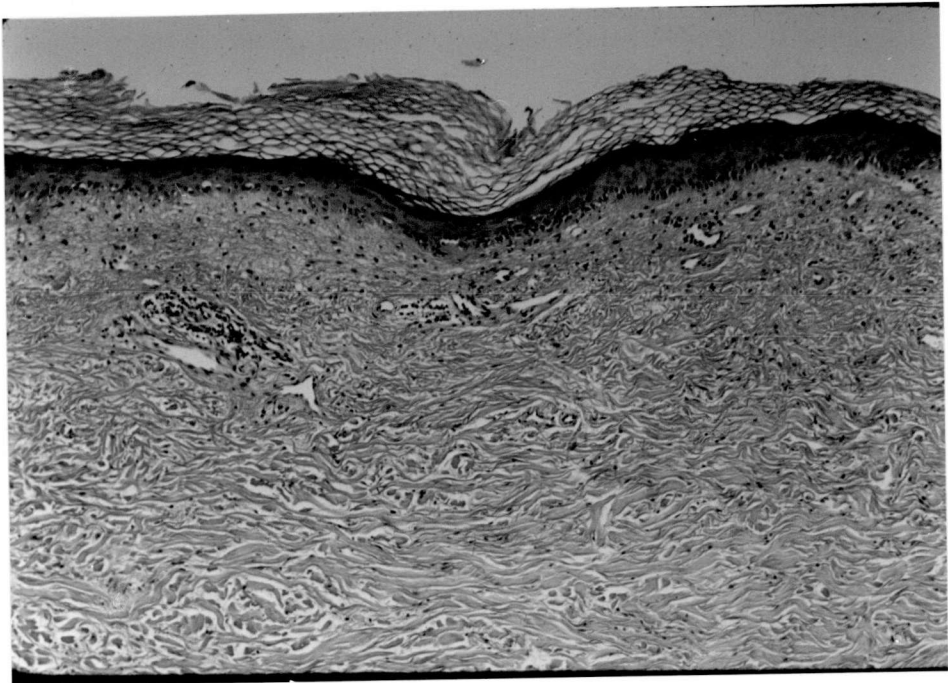
OO

DLE



รูปที่ 20 แสดงลักษณะ Regular acanthosis

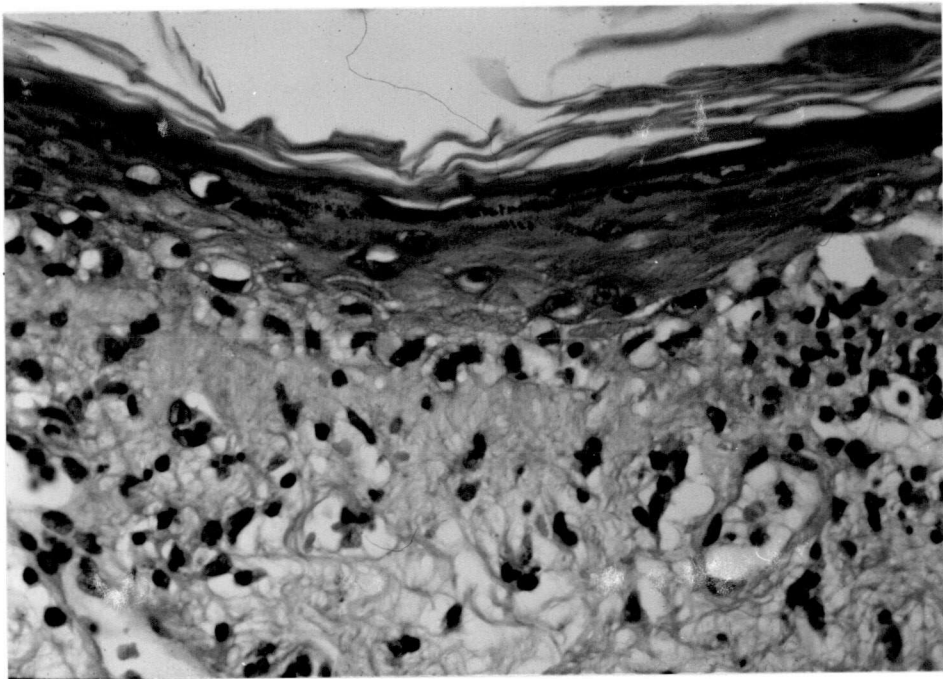




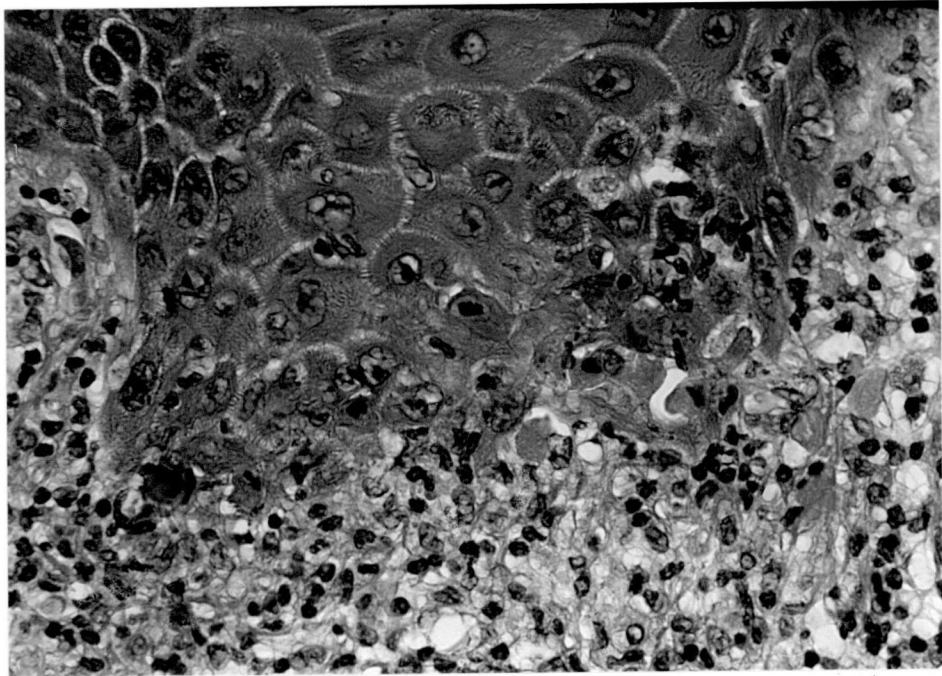
รูปที่ 21 แสดงลักษณะ Epidermal atrophy



รูปที่ 22 แสดงลักษณะ Deep inflammatory infiltrate

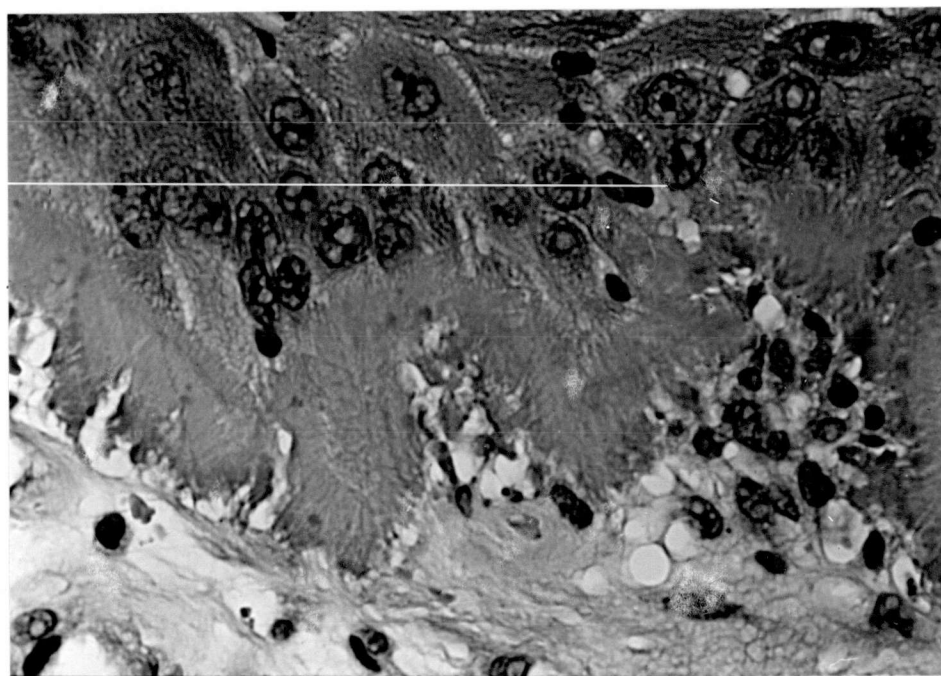


รูปที่ 23 แสดงลักษณะ Vascular dilatation



รูปที่ 24 แสดงลักษณะ Confluent interface change





รูปที่ 25 แสดงลักษณะ Basement membrane thickening